

РОССИЙСКАЯ АКАДЕМИЯ НАУК
ФИЗИКО-ТЕХНИЧЕСКИЙ ИНСТИТУТ им. А.Ф. Иоффе

На правах рукописи

Уваров Юрий Александрович

Кинетика электронов
в протяженных источниках
космического нетеплового излучения

(01.03.02 – Астрофизика, Радиоастрономия)

Автореферат
диссертации на соискание ученой степени
кандидата физико-математических наук

Санкт-Петербург – 1999

Работа выполнена в секторе теоретической астрофизики Физико-технического института им. А. Ф. Иоффе РАН

Научный руководитель: – доктор физико-матем. наук
профессор А. М. Быков

Официальные оппоненты: – доктор физико-матем. наук
профессор А. А. Матышев
– кандидат физико-матем. наук
Ю. А. Шибанов

Ведущая организация: – Главная астрономическая
обсерватория РАН (Пулково)

Защита состоится " " 1999 г. в __ часов на заседании диссертационного совета Д003.23.01 по защите диссертаций на соискание ученой степени кандидата физико-математических наук при Физико-техническом институте им. А. Ф. Иоффе РАН по адресу: 194021, С.-Петербург, Политехническая ул. 26.

С диссертацией можно ознакомиться в библиотеке Физико-технического института им. А. Ф. Иоффе РАН.

Автореферат разослан " " 1999 г.

Ученый секретарь диссертационного совета:
канд. физ.-мат. наук

А. Л. Орбели.

Актуальность работы.

Развитие современных астрономических средств наблюдения привело к тому, что астрономия стала практически всеволновой. Благодаря орбитальным телескопам ROSAT, ASCA, Комptonовской обсерватории, а также наземным черенковским гамма-телескопам, в последнее время появилось множество данных наблюдений различных источников в диапазоне энергий фотонов от долей кэВ до нескольких ГэВ, которые вместе с данными традиционных оптических и радио наблюдений формируют почти полную спектральную картину источников. Эти наблюдения показали, что высокоэнергичное излучение в большинстве случаев имеет существенно нетепловую природу и, тем самым, формируется нетепловыми частицами, в основном электронами. В свою очередь, нетепловой спектр частиц формируется в результате различных процессов ускорения. В протяженных астрофизических источниках особую роль играет процесс ускорения заряженных частиц при многократном пересечении фронтов ударных волн (УВ) за счет рассеяния на мелкомасштабных магнито-гидродинамических флюктуациях, поскольку этот механизм эффективно переводит энергию движения среды в энергию нетепловых частиц. Кроме того, в настоящее время накоплен большой объем данных прямых спутниковых наблюдений спектров нетепловых частиц в межпланетном пространстве. Для адекватной интерпретации наблюдений нетеплового излучения протяженных источников и потоков нетепловых электронов в окрестностях межпланетных УВ, необходима кинетическая модель ускорения и переноса электронов в широком интервале энергий. Таким образом, моделирование спектров нетепловых электронов в окрестности ударных волн оболочек сверхновых звезд и высокоскоростных облаков является актуальной задачей современной астрофизики.

Цель работы.

Цель работы заключается в моделировании кинетики электронов и их излучения в протяженных источниках космического нетеплового излучения на основе развитой модели ускорения электронов на фронтах быстрых квазипротодольных сверхкритических ударных волн, описываю-

щей теорию взаимодействия заряженных частиц с крупномасштабными движениями плазмы с учетом рассеяния электронов мелкомасштабной турбулентностью.

Научная новизна.

В работе впервые предложена модель ускорения электронов на фронтах быстрых сверхкритических квазипротодольных ударных волн, учитывающая инжекцию электронов в механизм ускорения Ферми и позволяющая рассчитать функцию распределения электронов во всем диапазоне энергий. В рамках модели исследована зависимость эффективного нагрева электронов от числа Маха УВ, а также влияние структуры фронта УВ и механизма потерь на спектр нетепловых электронов. Показано, что ускорение частиц на магнитных неоднородностях в окрестности квазипротодольных УВ играет существенную роль в формировании нетеплового спектра электронов в межпланетном пространстве. Впервые предсказан поток гамма-излучения с энергией порядка нескольких МэВ от высокоскоростных облаков (ВО), впоследствии зарегистрированный космической обсерваторией СОМРГОН от комплексов А, М и С. Выполнено моделирование спектров нетеплового излучения ВО и сделан вывод об их нахождении в гало Галактики. Построена модель, описывающая нетепловое излучение остатков сверхновых звезд в молекулярных облаках в интервале энергий от радио до гамма лучей.

Основные положения, выносимые на защиту.

1. Предложена модель ускорения электронов на фронтах быстрых сверхкритических квазипротодольных ударных волн, позволяющая рассчитать функцию распределения электронов во всем диапазоне энергий. В рамках модели исследована зависимость эффективного нагрева электронов от числа Маха УВ, а также влияние структуры фронта УВ и механизма потерь на спектр нетепловых электронов.
2. Рассчитан спектральный поток электронов и его пространственная зависимость в окрестности бесстолкновительной квазипротодольной УВ в межпланетной среде. Произведено сравнение с наблюдениями спутника ISEE - 3. Показано, что ускорение частиц на магнитных неоднородностях в окрестности квазипротодольных УВ играет существенную

роль в формировании нетеплового спектра электронов в межпланетном пространстве.

3. Предсказан поток гамма излучения с энергией порядка нескольких МэВ от высокоскоростных облаков, впоследствии зарегистрированный космической обсерваторией СОМРТОН от комплексов А, М и С. Выполнено моделирование спектров нетеплового излучения ВО. Сделан вывод об их нахождении в гало Галактики.

4. Выполнено детальное моделирование спектра электронов в окрестности УВ остатка сверхновой IC443. Рассчитаны спектры нетеплового излучения остатка IC 443 в диапазоне от радио до жестких гамма лучей (вплоть до 10^{12} эВ).

Научная и практическая ценность.

Ускорение заряженных частиц на фронтах ударных волн является одним из самых эффективных известных механизмов ускорения частиц в астрофизических объектах. Поэтому построенная модель, естественным образом учитывающая инжекцию частиц в механизм ускорения, необходима для исследования механизмов излучения от оболочек сверхновых звезд, высокоскоростных облаков и других астрофизических объектов, активно генерирующих ударные волны. Модель необходима и для исследования механизмов ускорения заряженных частиц в окрестности межпланетных ударных волн. Применение модели к исследованию спектров излучения позволяет наложить ограничения на свойства среды и кинетические коэффициенты в окрестности исследуемых объектов, что имеет большое значение для теории ускорения и распространения космических лучей.

Апробация.

Результаты, обсуждаемые в диссертации, неоднократно докладывались на семинарах сектора теоретической астрофизики ФТИ им. А.Ф. Иоффе РАН, на конференции "Предсверхновые, сверхновые и остатки сверхновых" (Пущино, 1997), на 25й Российской конференции по космическим лучам (Москва, 1998), на международных конференциях "24th International Cosmic Ray Conference" (Rome, 1995), "The Transparent Universe" (St. Malo, 1996), на 4-м рабочем совещании по физике ней-

тронных звезд (Санкт-Петербург, 1997). По теме диссертации опубликовано 5 печатных работ, перечисленных в конце авторефера.

Структура и объем диссертации.

Диссертация состоит из введения, 4 глав, заключения и списка цитируемой литературы. Полный объем диссертации 90 страниц, включая 11 рисунков. Список литературы насчитывает 175 наименований.

Содержание.

В введении обоснована актуальность темы диссертации, приведены основные сведения о структуре УВ в космической среде и методах их описания.

В первой главе дан обзор основных сведений о кинетике заряженных частиц в условиях космической плазмы. Кинетическое уравнение для изотропной части функции распределения в диффузационном приближении имеет вид [1, 2]:

$$k(p) \frac{\partial^2 N(z,p)}{\partial z^2} - u(z) \frac{\partial N(z,p)}{\partial z} + \frac{p}{3} \frac{\partial N}{\partial p} \frac{\partial u(z)}{\partial z} + \frac{1}{p^2} \frac{\partial}{\partial p} \left(p^2 D(p) \frac{\partial N}{\partial p} \right) - \frac{1}{p^2} \frac{\partial}{\partial p} \left(p^2 F(p) N \right) = 0. \quad (1)$$

Это уравнение описывает диффузию электронов в пространстве координат и импульсов за счет взаимодействия с магнитогидродинамической (МГД) турбулентностью, перенос электронов гидродинамическим потоком, потери энергии электронов на торможение. Здесь $F(p) = dp/dt(p)$ — функция энергетических потерь электронов. Коэффициенты диффузии в пространстве координат ($k(p)$) и импульсов ($D(p)$) определяются спектром бесстолкновительной МГД турбулентности. Точный расчет такой турбулентности пока не представляется возможным, поэтому мы используем модельные предположения о виде этих коэффициентов. Коэффициент продольной пространственной диффузии равен: $k \approx v\Lambda(p)/3$, $\Lambda(p)$ — транспортный пробег электронов, зависящий от спектра МГД турбулентности. Мы выбираем $k(p)$ в виде:

$$k(p) = k_o \begin{cases} 1 & \text{при } p_T \leq p \leq p_*, \\ vp^\epsilon/v_*p_*^\epsilon, & \text{при } p_* \leq p \leq p_{**}, \\ cp^2/(p_{**}^{2-\epsilon}p_*^\epsilon v_*) & \text{при } p_{**} \leq p. \end{cases} \quad (2)$$

Коэффициент диффузии $D(p)$ имеет вид $D(p) = p^2 w^2 / 9k(p)$. На низких энергиях ($p \leq p_*$) перенос частиц осуществляется за счет крупномасштабной вихревой турбулентности и скорость w — часть крупномасштабной скорости потока u [3]. Пространственный коэффициент диффузии в этом режиме не зависит от энергии. В случае умеренных энергий ($p_* \leq p \leq p_{**}$) скорость w пропорциональна альвеновской скорости v_a , и $k(p)$ — коэффициент диффузии электронов за счет резонансного взаимодействия с МГД турбулентностью. На больших энергиях ($p \geq p_{**}$) электроны рассеиваются мелкомасштабной турбулентностью нерезонансным образом. Параметр ϵ определяется спектром турбулентности. Поток частиц J определяется формулой [1]:

$$J = -k \frac{\partial N}{\partial z} - u \frac{p}{3} \frac{\partial N}{\partial p}, \quad (3)$$

учитывающей потоки за счет диффузии и конвекции.

Во втором разделе первой главы на основе кинетического уравнения построена модель, описывающая ускорение электронов на фронтах быстрых бесстолкновительных квазипродольных УВ. В первой и второй главах рассматриваются УВ, размер которых меньше характерных длин потерь. При кинетическом описании процессов ускорения и переноса электронов в окрестности таких УВ, в уравнении (1) можно пренебречь слагаемым, описывающим потери. Выберем систему координат, неподвижную относительно фронта УВ. Пусть ось z сонаправлена со скоростью гидродинамического потока. Вблизи УВ можно выделить 3 области:

1. Область натекающей плазмы. В этой области в уравнении (1) можно пренебречь членами, описывающими диффузию в пространстве импульсов, так как МГД турбулентность слабая. Также можно считать скорость гидродинамического потока постоянной. В этом случае легко получить решение уравнения (1), обеспечивающее заданный спектр частиц на $-\infty$: $N_1(p) = C_1(p) \exp(u_1 z/k_1) + N_{-\infty}(p)$. Неопределенная функция $C_1(p)$ определяется из условий сшивки на границе областей 1 и 2.

2. Переходная область. В этой области, согласно расчетам [4], развивается сильная МГД турбулентность, поэтому в уравнении (1) необходимо учитывать диффузию в пространстве импульсов. В то же время ширина переходной области много меньше характерных длин потерь. Поэтому потерями в переходной области можно пренебречь даже в том случае, когда поперечный размер УВ больше или сравним с длиной потерь. Транспортный пробег замагниченных электронов Λ_2 в переходной области примерно равен длине корреляции сильных флуктуаций магнитного поля $\Lambda_2 \sim l_c$ для электронов с гирорадиусами меньше чем l_c и почти не зависит от энергии при $E \leq T_1(m_p/m_e)$, если спектр флуктуаций магнитного поля близок к одномасштабному или падает с ростом волнового числа κ по закону $\kappa^{-\nu}$ с $\nu \geq 2$.
3. Область оттекающей плазмы. В этой области так же, как и в области 1, пренебрегая в уравнении (1) оператором второго порядка по импульсу и считая постоянной скорость потока, можно найти аналитическое решение: $N_3(p) = B_1(p) \exp(u_3 z/k_3) + B_2(p)$. Неопределенные функции $B_1(p)$ и $B_2(p)$ определяются из граничных условий на границе области 3. Так, если 3 область можно считать неограниченной при $z \rightarrow \infty$, то из ограниченности функции распределения следует, что $N_3 = B_2(p)$.

На границах областей сшиваются функции распределения N_i и потоки J_i . Поместим 0 нашей системы координат на границе 1 и 2 областей. С использованием аналитических решений в областях 1 и 3, задача нахождения решения уравнения (1) сводится к его решению в переходной области без слагаемого, описывающего потери. Граничные условия для функции N_2 на границах области 2 определяются с учетом аналитического вида решений в 1 и 3 областях.

Описанная одномерная модель с диффузионным распространением частиц в пространственно неограниченной области оттекающего потока не учитывает эффекты конечности размеров фронта УВ, и связанные с этим ограничения эффективности ускорения. Следует принять во вни-

мание, что электроны, отошедшие от фронта в области оттекающего потока на расстояние порядка поперечного размера УВ, в большинстве своем за счет диффузии и увлечения крупномасштабным течением уходят из системы, не участвуя в дальнейшем ускорении. Мы учитываем этот эффект посредством постановки в области оттекающего потока на расстоянии z_{fe} , которое выбирается порядка поперечных размеров фронта, дополнительного граничного условия свободного ухода, заключающегося в свободном распространении электронов, перешедших эту границу ($z = z_{fe}$) в правую полуплоскость:

$$N_{3-}(p) = N_{3+}(p), \quad J_{3-}(p) = J_{3+}(p), \quad z = z_{fe}, \\ \text{где } \vec{J}_{3+}(p) = \int_{p_z > 0} \vec{v} F d\Omega \vec{p}, \quad (4)$$

а F-функция распределения электронов в диффузационном приближении [1]:

$$F(\vec{r}; \vec{p}; t) = \frac{1}{4\pi} \left(N(\vec{r}; p, t) + \frac{3}{v^2} \vec{v} \cdot \vec{J}(\vec{r}, p, t) \right). \quad (5)$$

В третьем разделе первой главы приведены результаты расчета функции распределения электронов на основе модели. Решение уравнения (1) с соответствующими граничными условиями строилось методом разностных схем. Использовалась сетка второго порядка аппроксимации разностных производных с равномерным шагом по координате z и изменяемым шагом по переменной p . Расчет подтвердил, что свободный уход частиц из области ускорения приводит к формированию экспоненциально спадающей по энергии функции распределения. В то же время, при наличии в окрестности УВ волны области удержания размером в несколько транспортных пробегов частиц энергии E , до энергии E формируется степенной спектр с показателем степени, зависящим от степени сжатия УВ (рис. 1). При выбранном режиме ускорения (с свободным уходом или с диффузионным распространением в области удержания) и фиксированном спектре турбулентности исследована зависимость формирующейся функции распределения от двух безразмерных модельных параметров $\Gamma = (u_1 \Delta) / (v_T \Lambda_2)$ и $\alpha = (\delta B / B)^2$ (рис. 1).

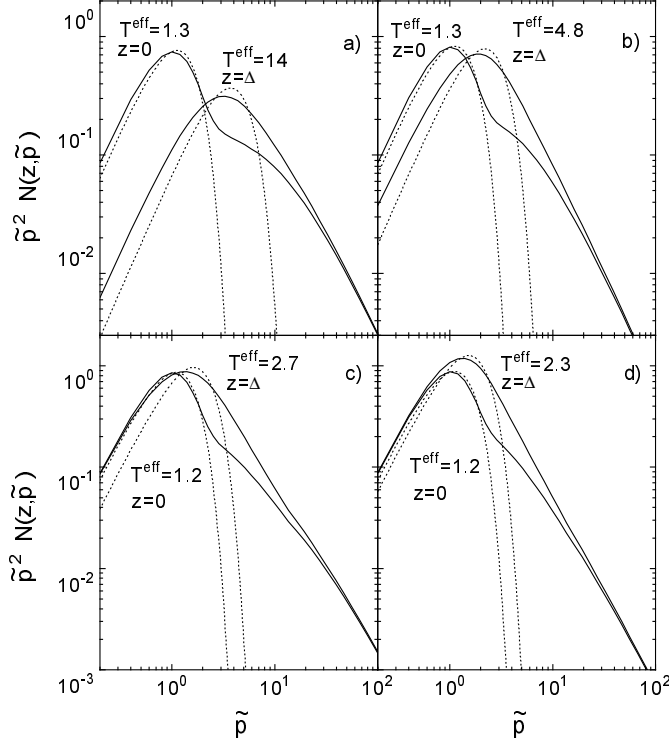


Рис. 1: Функции распределения электронов в окрестности УВ с $\Gamma = 5$ для диффузационного граничного условия, нормированные на 1 см^{-3} при $z = -\infty$. $\tilde{p} = p/p_T$, p_T — тепловой импульс. Пунктиром даны аппроксимации максимума распределения максвелловскими функциями с эффективными температурами. Приведенные эффективные температуры измеряются в единицах T_1 (T_1 — температура на $-\infty$). На панелях а и б расчеты для случая $p_* \sim p_T$, на панелях с и д для случая $p_* \gg p_T$. Панели а и с соответствуют $\alpha = 0.4$, панели б и д — $\alpha = 0.1$.

Здесь v_T — тепловая скорость электронов в натекающем потоке, Λ_2 — транспортный пробег тепловых электронов в переходной области. Па-

раметр Γ зависит от силы УВ и связан с альвеновским числом Маха соотношением $\Gamma \propto M (m_e/\beta m_p)^{1/2} (\Delta/l_c)$, где $\beta = 4\pi P/B^2$. Параметр α описывает относительные среднеквадратичные флюктуации магнитного поля в переходной области. Ширина переходной области Δ также, вообще говоря, зависит от числа Маха УВ [5]. Отметим, что примененный подход позволил отказаться от модельно-зависимого параметра энергии инжекции и рассчитать функцию распределения электронов во всем диапазоне энергий.

В четвертом разделе первой главы обсуждаются результаты численного расчета эффективной температуры ускоренных электронов от числа Маха УВ при различной роли вихревого турбулентного переноса в переходной области в случае нерезонансного рассеяния на флюктуациях магнитного поля, а также в случае резонансного рассеяния для нескольких зависимостей пробега электронов от импульса. Эффективная температура определяется с помощью аппроксимации тепловой максвелловской функцией распределения функции распределения, рассчитанной в рамках модели.

При $p_* \sim p_T$ роль турбулентного переноса мала и перенос происходит только за счет рассеяний на флюктуациях магнитного поля. Расчеты показывают, что в рамках описанной модели бесстолкновительного нагрева и ускорения электронов в переходной области УВ флюктуациями магнитного поля, эффективный нагрев можно аппроксимировать законом $T^{eff}/T_1 \propto \Gamma^\alpha$ (кривые на рис. 2). Причем приближенно квадратичный закон имеет место как для диффузационного граничного условия на границе с протяженной областью оттекающего потока (кривая 1 на левой панели рис. 2), так и для условия свободного ухода, поставленного сразу за переходной областью (кривая 1 на правой панели рис. 2). Этот результат совпадает с зависимостью, имеющей место для сильных УВ в среде со столкновениями, обеспечивающими локальное равновесие в области оттекающего потока.

При наличии в переходной области резонансных мелкомасштабных (масштабы меньше l_c) флюктуаций, транспортный пробег электронов зависел бы от импульса электронов по закону $\Lambda_2(p) = \Lambda_0 p^\zeta$. При этом

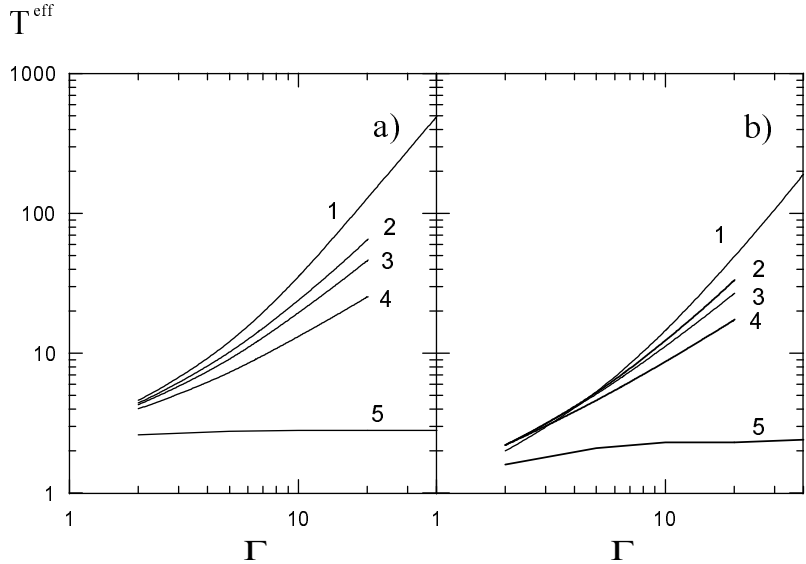


Рис. 2: Зависимости эффективной температуры ускоренных электронов от параметра Γ при $\alpha = 0.5$. Эффективная температура измеряется в единицах T_1 . Кривые 1, 2, 3 и 4 рассчитаны для случая $p_* \sim p_T$, а кривые 5 для случая $p_* \gg p_T$. Для кривых 1 и 5 пробег электронов полагался независящим от импульса. Для кривых 2, 3 и 4 показатель степени зависимости пробега от импульса равен 0.3, 0.5 и 1 соответственно.

меняется зависимость $T^{eff}(\Gamma)$. Это иллюстрируют кривые, помеченные цифрами 2 - 4 на рис. 2, соответствующие значениям индекса $\zeta = 0.3; 0.5$ и 1 . Так, в частности, при пробеге электронов пропорциональном их гирорадиусу ($\zeta = 1$), что соответствует бомовской диффузии, имеем степень зависимости $T^{eff}/T_1 \propto M^a$ с $a \approx 1$. Зависимость $T^{eff}(\Gamma)$ в такой модели иллюстрируют кривые 4 на рис. 2. В случае $p_* \gg p_T$

турбулентный перенос электронов развитой вихревой турбулентностью в переходной области УВ является доминирующим. В этом случае эффективный нагрев электронов может быть подавлен даже для достаточно сильных УВ, что иллюстрируют кривые 5 на рис. 2.

На основании вышеизложенного предлагается наблюдательный тест на определение зависимости T^{eff} от Γ по статистической обработке наблюдений остатков сверхновых. Также предлагается тест на выяснение роли вихревого переноса электронов по сравнению с переносом магнитными флюктуациями на основе анализа наблюдений окрестностей УВ в гамма и рентгеновском диапазонах. Совместная реализация этих тестов позволит дать ответ на вопрос о типе рассеяния электронов в области ускорения и характере зависимости свободного пробега электронов на флюктуациях магнитного поля.

Во второй главе на основе построенной в первой главе модели рассматривается ускорение электронов на УВ в межпланетном пространстве. Во введении даны основные сведения о свойствах межпланетной среды. Описаны основные процессы, приводящие к возникновению неоднородностей потока плазмы и магнитного поля в околоземном пространстве. Дан обзор спутниковых наблюдений межпланетной среды и описаны результаты наблюдений УВ [6], а также описана наблюдавшаяся корреляция между ударными волнами и усилением потоков нетепловых заряженных частиц (протонов и электронов) в их окрестности [6].

Во втором разделе второй главы на основе модели, изложенной в главе 1, выполнено моделирование спектров ускоренных электронов в окрестности квазипродольных УВ с учетом особенностей бесстолкновительных УВ в межпланетном пространстве. Показано, что при описании ускорения электронов на УВ в межпланетном пространстве потерями можно пренебречь. Произведено сравнение результатов модели с наблюдениями спутника ISEE-3 [6] (рис. 3). Показано, что для согласия результатов моделирования с экспериментом необходимо, чтобы в области низких энергий перенос электронов в переходной области и области 3 определялся турбулентными вихревыми флюктуациями макроскопической скорости плазмы (что приводит к не зависящему от

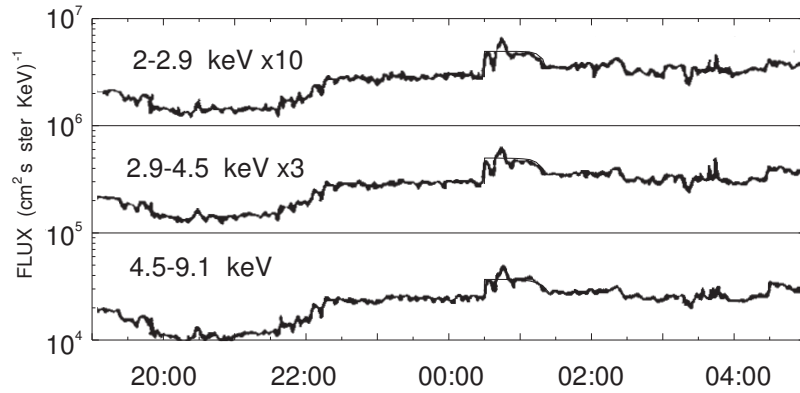


Рис. 3: Расчет временной эволюции потока электронов (тонкая линия) в окрестности межпланетной УВ (скорость фронта УВ - 422 км/с, угол наклона поля 22 градуса) для трех энергетических интервалов. Данные измерений потока электронов спутником ISEE-3 [6] приведены жирной линией. По оси абсцисс отложено время наблюдения в часах.

импульса коэффициенту диффузии при низких энергиях). Обсуждается возможность использования космической лаборатории ACE, запущенной NASA в 1997 году, для дополнительной проверки модели.

В третьей главе модель применяется к описанию ускорения электронов на УВ, образующейся при взаимодействии падающих на галактическую плоскость облаков атомарного водорода с гало Галактики. Высокоскоростные облака были открыты в 1963 по радиоизлучению нейтрального водорода как класс протяженных объектов, радиальные скорости которых существенно отличны от локальной скорости вращения газа в Галактике [7]. Во введении описываются данные наблюдений ВО в различных спектральных диапазонах. Обсуждаются имеющиеся оценки на расстояние до ВО и их массу. Надо отметить, что наблюдения высокоскоростных облаков в радио и оптическом диапазонах не

позволяют дать однозначный ответ на вопрос об их происхождении и свойствах. Поэтому в диссертации выполнено моделирование высокоэнергичного рентгеновского и гамма излучения ВО с целью определения их параметров и свойств галактики.

Во втором разделе третьей главы описывается включение в модель кулоновских и синхротронных потерь электронов. Так как плотность в области 3 в несколько раз превышает плотность в оттекающем потоке, то именно эта область вносит доминирующий вклад в кулоновские потери. В оттекающем потоке можно пренебречь диффузией в пространстве импульсов и считать скорость потока постоянной. В этом случае получено решение уравнения (1) в неограниченной области оттекающего потока при не зависящем от энергии пространственном коэффициенте диффузии. Это решение описывает низкоэнергичную часть функции распределения электронов в оттекающем потоке. На достаточно высоких энергиях, когда кулоновскими потерями можно пренебречь, функция распределения описывается приведенным ранее решением уравнения (1) без потерь в оттекающем потоке. На расстоянии порядка размежа системы $z = L_{sys}$ ставится условие свободного ухода. Синхротронные потери модельно учитываются постановкой условия свободного ухода на границе, зависящей от энергии $L_{cof}(E) = \min(L_{sys}, L_{syn}(E))$, где $L_{syn}(E) = \sqrt{\Lambda_{syn}(E) \cdot \Lambda_3(E)}$ и $\Lambda_{syn}(E)$ — характерная длина торможения частицы с энергией E за счет синхротронных потерь. С учетом вида решения в области 3 и граничных условий, задача решения уравнения (1) по-прежнему сводится к его решению в переходной области с соответствующими граничными условиями для функции N_2 на границах 2 области. После нахождения решения в переходной области, решение в 3 области восстанавливается с помощью полученных аналитических решений.

В этом же разделе описаны используемые при расчетах функции кулоновских потерь $dE/dt(E)$.

В третьем разделе третьей главы описаны результаты расчета функции распределения электронов для комплексов М, С и А высокоскоростных облаков. При расчетах использовались следующие

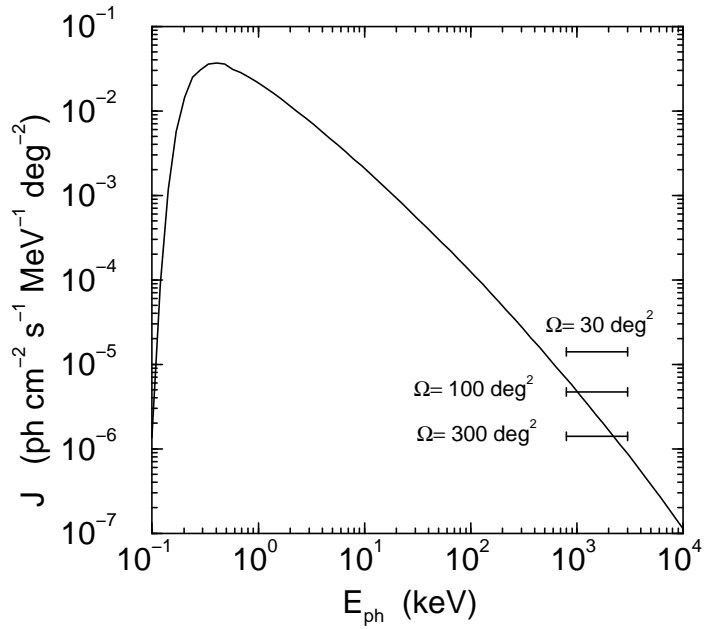


Рис. 4: Рассчитанная в рамках модели интенсивность излучения от ВО. На рисунке также приведены данные наблюдений прибора COMPTEL спутника CGRO [8] при различных предположениях об угловом размере облаков.

параметры: $T_1 = 3 \cdot 10^5$ K, $n_1 = 3 \cdot 10^{-3}$ см $^{-3}$ — температура и концентрация газа в гало Галактики, сжатие на фронте УВ ~ 4 , $N_{\text{H}} \approx 2 \cdot 10^{20}$ см $^{-2}$ — колонковая плотность атомарного водорода в облаке, $n \approx 0.3$ см $^{-3}$ — концентрация водорода в облаке, $D_o \approx 5 \cdot 20^{21}$ см 2 с $^{-1}$ — коэффициент диффузии электронов в облаке на низких энергиях, $d \sim 3$ кпк — расстояние до ВО. Расчеты показывают, что основная толща облаков слабо ионизована со степенью ионизации $\lesssim 10\%$. Тем самым, в основной толще облака кулоновские потери доминируются нейтральной компонентой. При этом,

для поддержания процесса ускорения против кулоновских потерь в релятивистские электроны должно конвертироваться примерно 15 % гравитационной энергии облаков, выделяющейся при их падении на плоскость Галактики.

В четвертом разделе описаны сечения, используемые для расчета интенсивности излучения нетепловых электронов.

В пятом разделе третьей главы приведены результаты расчета излучения от ВО (рис. 4). Показано, что излучение в диапазоне от нескольких кэВ до сотен МэВ доминируется тормозным излучением электронов. Модель объясняет зарегистрированный прибором COMPTEL Комптоновской обсерватории [8] избыток гамма-излучения от комплексов М, С и А высокоскоростных облаков в диапазоне $1 \div 3$ МэВ. Модель также объясняет зарегистрированное от ВО излучение в линиях H_α [9] (составляющее $\approx 0.1 \div 0.2$ Рэлея для облаков из комплексов А, М, С; $1 \text{ Рэлей} = 10^6 / 4\pi \text{ фот см}^{-2} \text{ с}^{-1} \text{ стер}^{-1}$), при предположении, что температура облаков $T_{cl} \sim 10^3$ К.

В четвертой главе модель применяется к описанию ускорения электронов на УВ от взрыва сверхновой, распространяющейся в молекулярном облаке. Во введении дается краткое описание временной эволюции расширяющейся оболочки сверхновой. Рассматриваются особенности УВ, образующейся при распространении оболочки в межзвездной среде.

Во втором разделе четвертой главы приведены результаты расчета функции распределения электронов в окрестности остатка сверхновой IC443. В расчетах учтена неоднородность остатка. При этом используется структура радиативной оболочки из работы [10]:

1. Натекающий газ, ионизованный и нагретый излучением и нетепловыми частицами, генерируемыми на фронте УВ;
2. Переходная область УВ;
3. Область лучистого охлаждения газа за фронтом УВ;
4. Плотная оболочка газа, охлажденного за фронтом УВ;

5. Горячая разреженная центральная область остатка.

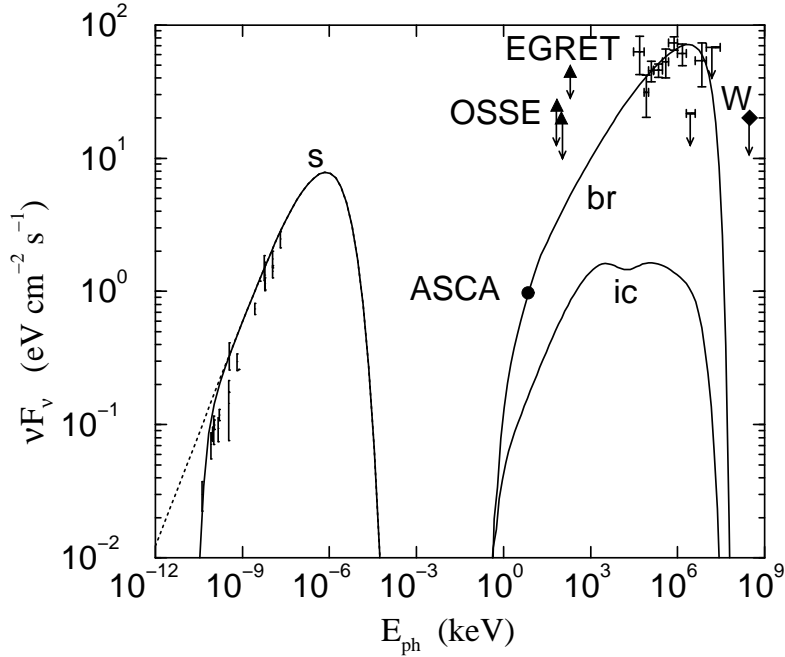


Рис. 5: Спектр рассчитанного в рамках нашей модели излучения от IC443 в сравнении с данными наблюдений. Детектируемое синхротронное излучение с учетом свободно-свободного поглощения в межзвездной среде показано сплошной кривой (s). Пунктирной линией показано синхротронное излучение без учета поглощения. Тормозное излучение оболочки, с учетом поглощения в межзвездной среде [11], показано кривой (br). Излучение остатка за счет обратного комптон-эффекта показано кривой (ic). На рисунке отмечены наблюдательные данные из работ [12] (радио), [13] (ASCA), [14] (OSSE, EGRET), [15] (WHIPPLE (W)).

Мы находим функцию распределения электронов из уравнения (1).

При этом мы учитываем кулоновские и синхротронные потери в рамках описанной в третьей главе схемы. Решение уравнения (1) сводится к решению уравнения в переходной области. После нахождения функции распределения электронов в области 2, функции распределения в областях 3, 4, 5 последовательно вычисляются с помощью приведенных в диссертации аналитических решений в оттекающем потоке.

В третьем разделе четвертой главы приведены результаты расчета нетеплового излучения остатка сверхновой IC443 в широком диапазоне энергий. На рисунке 5 приведен спектр рассчитанного в рамках нашей модели излучения от IC443 в сравнении с данными наблюдений. На рисунке не показано излучение в диапазоне энергий $\sim 0.2 \div 3.1$ кэВ, которое обладает тепловым спектром и является, судя по всему, излучением нагретого до температуры $\geq 10^6 K$ горячего ионизованного газа из центральной области остатка.

Мы также исследовали возможность влияния областей взаимодействия УВ со сгущениями плотности в молекулярном облаке на высокоэнергичное излучение. В случае IC443 и W44 эти области, как оказалось, не вносят существенного вклада в радио-излучение. Но они могут содержать большую часть массы облака и являются претендентами на роль источников низкоэнергичного гамма-излучения с $\nu F_\nu \sim \nu^a$ ($a \gtrsim 0.5$) и максимумом ниже 50 МэВ. Наша модель показывает, что высокоэнергичное гамма-излучение, пространственно коррелирующее с радио-излучением, должно приходить от сильно излучающей в рентгеновском диапазоне части оболочки сверхновой. GLAST (Gamma Ray Large Area Space Telescope) должен стать прекрасным прибором для последующих наблюдений в гамма-диапазоне, поскольку в этом диапазоне он будет обладать очень хорошим разрешением. Вместе с приборами высокого разрешения в рентгеновском диапазоне *Chandra XRO*, XMM и радио-телескопами, он сможет пространственно разрешить излучение от оболочки сверхновой и от сгущений плотности молекулярного облака.

Публикации по теме диссертации.

1. А.М. Быков, Ю.А. Уваров, "Спектр надтепловых электронов, ускоренных бесстолкновительной ударной волной", Письма в ЖЭТФ, том **57**, вып. 10 (1993) стр. 625-628.
2. A.M. Bykov, Y.A. Uvarov, "Nonthermal electron injection by collisionless shock waves", Proc. 24th International Cosmic Ray Conference, v. **3** (1995) p. 241-244.
3. J.J. Blom, H. Bloemen, A.M. Bykov, W.B. Burton, Dap Hartmann, W. Hermsen, A.F. Iyudin, J. Ryan, V. Schonfelder, Yu.A. Uvarov, "Evidence for COMPTEL detections of low-energy gamma-rays from HVC Complexes?", Europ. Space Agency, SP - 382 (1996) p. 119-122.
4. J.J Blom, H. Bloemen, A.M. Bykov, W.B. Burton, Dap Hartmann, W. Hermsen, A.F. Iyudin, J. Ryan, V. Schonfelder, Yu.A. Uvarov, "COMPTEL detection of low-energy gamma rays from the HVC Complex M and A region?", Astron. Astroph., v. **321** (1997) p. 288-292.
5. А.М. Быков, Ю.А. Уваров, "Кинетика электронов в бесстолкновительных ударных волнах", ЖЭТФ, том **115**, вып. 3 (1999) стр. 846-864.

Список литературы.

- [1] И.Н. Топтыгин, *Космические лучи в межпланетных магнитных полях*, Москва, Наука (1983).
- [2] *Астрофизика космических лучей*, под ред. В.Л. Гинзбурга, Москва, Наука (1984).
- [3] А.М. Быков, И.Н. Топтыгин, УФН, **163** (1993) 19.
- [4] K.B. Quest, J. Geoph. Res., **93** (1988) 9649.
- [5] J.R. Kan, M.E. Mandt, L.H. Lyu, Space Sci. Rev., **57** (1991) 201.
- [6] B.T. Tsurutani, R.P. Lin, J. Geoph. Res., **90** (1985) 1.
- [7] B.P. Wakker, H. van Woerden, Ann. Rev. Astron. Astroph. **35** (1997) 217.
- [8] J.J. Blom, H. Bloemen, A.M. Bykov et al., Astron. Astroph., **321** (1997) 288.
- [9] L.S. Haffner, R.J. Reynolds, S.L. Tufte, Astroph.J., **504** (1998) 773.
- [10] B.T. Draine, C.F. McKee, Ann. Rev. Astron. Astroph., **31** (1993) 373.
- [11] R. Morrison, D. McCammon, Astroph.J., **270** (1983) 119.
- [12] W.C. Erickson, M.J. Mahoney, Astroph.J., **290** (1985) 596.
- [13] J.W. Keohane, R. Petre, E.V. Gotthelf et al., Astroph.J., **484** (1997) 350.
- [14] S.J. Sturner, J.G. Skibo, C.D. Dermer et al., Astroph.J., **490** (1997) 619.
- [15] R.W. Lessard et al., 24th. Int. Cosmic Ray Conf. (Rome), **2** (1995) 475.